

**(HI,xn $\gamma$ )    1986La08,1979De03,1978Ka06**

Type	Author	History	
Full Evaluation	S. -c. Wu	Citation	Literature Cutoff Date
		NDS 106, 619 (2005)	1-Nov-2005

Data from 1986La08 indicate coexistence of prolate and oblate nuclear shapes in  $^{185}\text{Au}$ . The energies of the h11/2 configurations have minima for oblate (11/2[505]) and prolate (1/2[550]) Nilsson orbitals. The corresponding rotational bandheads are at 220.1 keV and 1210.1 keV, respectively.  $T_{1/2}=26$  ns for the 220.1 level can be explained as resulting from the decay of an oblate to a prolate structure (1983Be48).

1986La08:  $^{170}\text{Yb}(^{19}\text{F},4\text{n}\gamma)$ , E=97 MeV; 1.9 mg/cm<sup>2</sup>  $^{170}\text{Yb}$  target on Pb backing; 5 Ge detectors and 6 NaI counters;  $\gamma\gamma$  coin,  $\gamma(\theta)$ .

1979De03:  $^{170}\text{Yb}(^{19}\text{F},4\text{n}\gamma)$ , E=92 MeV;  $^{165}\text{Ho}(^{24}\text{Mg},4\text{n}\gamma)$ , E=120 MeV;  $^{175}\text{Lu}(^{16}\text{O},6\text{n}\gamma)$ , E=112 MeV. Ga(Li) coaxial and planar detectors;  $\gamma\gamma(t)$ ,  $\gamma\gamma(\theta)$ ,  $\gamma(\theta)$ . Other: 1985Pa06.

1978Ka06:  $^{175}\text{Lu}(^{16}\text{O},6\text{n}\gamma)$ , E=113 MeV;  $^{169}\text{Tm}(^{20}\text{Ne},4\text{n}\gamma)$ , E=98, 103 MeV. UNISOR facility;  $\gamma\gamma(t)$ ,  $\gamma(\theta)$ , ce.

2004Jo07:  $^{159}\text{Tb}(^{30}\text{Si},4\text{n}\gamma)$ , E=140 MeV. 12 Compton suppressed HPGe detectors with 14 BGO array; Measured lifetimes by recoil-distance Doppler-shift method.

 **$^{185}\text{Au}$  Levels**

Band( $\alpha, a$ )  $K^\pi=5/2^-$  decoupled rotational band. configuration=h<sub>9/2</sub>. Prolate shape.

E(level) <sup>b</sup>	J <sup><math>\pi</math></sup> <sup>†</sup>	T <sub>1/2</sub> <sup>a</sup>	E(level) <sup>b</sup>	J <sup><math>\pi</math></sup> <sup>†</sup>	T <sub>1/2</sub> <sup>a</sup>
0.0	5/2 <sup>-</sup>	4.25 <sup>c</sup> min 6	2146.4 <sup>#</sup>	(29/2 <sup>+</sup> )	2.77 ps +10-12
8.9	(9/2 <sup>-</sup> )		2302.5 <sup>&amp;d</sup>		
107.4 <sup>d</sup>	(7/2 <sup>-</sup> )	0.37 <sup>c</sup> ns 4	2503 <sup>‡d</sup>	(31/2 <sup>-</sup> )	
220.3 <sup>@</sup>	(11/2 <sup>-</sup> )	26 <sup>c</sup> ns 2	2561.7 <sup>&amp;d</sup>		
221.7	(13/2 <sup>-</sup> )	116 ps +11-10	2584.3	(33/2 <sup>-</sup> )	
301.4	(11/2 <sup>-</sup> )		2619.3 <sup>#</sup>	(33/2 <sup>+</sup> )	2.31 ps +13-20
544.6	(17/2 <sup>-</sup> )	13.5 ps +10-8	2687.0 <sup>d</sup>	(31/2 <sup>-</sup> )	
616.8	(15/2 <sup>-</sup> )		2831.6 <sup>&amp;d</sup>		
682.7 <sup>@</sup>	(15/2 <sup>-</sup> )		3037.3 <sup>&amp;d</sup>		
776.1 <sup>‡d</sup>	(15/2 <sup>-</sup> )		3059 <sup>‡d</sup>	(35/2 <sup>-</sup> )	
860.1 <sup>#</sup>	(13/2 <sup>+</sup> )		3117.3 <sup>#</sup>	(37/2 <sup>+</sup> )	<2.9 ps
953.8	(21/2 <sup>-</sup> )	4.3 ps 4	3225.1	(37/2 <sup>-</sup> )	
1029.4	(19/2 <sup>-</sup> )		3309.7 <sup>d</sup>	(35/2 <sup>-</sup> )	
1040.8 <sup>#</sup>	(17/2 <sup>+</sup> )		3365.0 <sup>&amp;d</sup>		
1136.2 <sup>‡d</sup>	(19/2 <sup>-</sup> )		3657 <sup>‡d</sup>	(39/2 <sup>-</sup> )	
1210.1 <sup>&amp;d</sup>			3657.3 <sup>#</sup>	(41/2 <sup>+</sup> )	
1328.1 <sup>#</sup>	(21/2 <sup>+</sup> )	16.2 ps 12	3898.1 <sup>d</sup>	(41/2 <sup>-</sup> )	
1396.9 <sup>@</sup>	(19/2 <sup>-</sup> )		3945.8 <sup>d</sup>	(39/2 <sup>-</sup> )	
1438.1	(25/2 <sup>-</sup> )	<3.5 ps	4244.7 <sup>#</sup>	(45/2 <sup>+</sup> )	
1509.4	(23/2 <sup>-</sup> )		4293 <sup>‡d</sup>	(43/2 <sup>-</sup> )	
1548.8 <sup>&amp;d</sup>			4612 <sup>d</sup>	(45/2 <sup>-</sup> )	
1564.5 <sup>‡d</sup>	(23/2 <sup>-</sup> )		4872.9 <sup>#d</sup>	(49/2 <sup>+</sup> )	
1705.8 <sup>#</sup>	(25/2 <sup>+</sup> )	4.8 ps 3	4967 <sup>‡d</sup>	(47/2 <sup>-</sup> )	
1761.2 <sup>&amp;d</sup>			5372 <sup>d</sup>	(49/2 <sup>-</sup> )	
1986.3	(29/2 <sup>-</sup> )		5545 <sup>#d</sup>	(53/2 <sup>+</sup> )	
1994.6 <sup>‡</sup>	(27/2 <sup>-</sup> )		5695 <sup>‡d</sup>	(51/2 <sup>-</sup> )	
2025.2 <sup>@d</sup>	(23/2 <sup>-</sup> )		6273 <sup>#d</sup>	(57/2 <sup>+</sup> )	
2095.0 <sup>d</sup>	(27/2 <sup>-</sup> )		7038 <sup>#</sup>	(61/2 <sup>+</sup> )	

Continued on next page (footnotes at end of table)

(HI,xn $\gamma$ ) **1986La08,1979De03,1978Ka06 (continued)** $^{185}\text{Au}$  Levels (continued)

<sup>†</sup> Spin assignments for members of the various rotational bands are supported by  $\gamma(\theta)$  and  $\gamma\gamma(\theta)$  measurements of [1986La08](#), [1979De03](#), and [1978Ka06](#).

<sup>‡</sup> Band(A):  $K^\pi=(1/2^-)$  decoupled rotational band. configuration= $f_{7/2}$ . Prolate shape.

<sup>#</sup> Band(B):  $K^\pi=13/2^+$  decoupled rotational band. configuration= $13/2$ . Prolate shape.

<sup>@</sup> Band(C):  $K^\pi=11/2^-$  decoupled rotational band. configuration= $h_{11/2}$ . Oblate shape.

<sup>&</sup> Band(D):  $K^\pi=1/2^-$  rotational band. configuration= $h_{11/2}$ . Prolate shape.

<sup>a</sup> From recoil-distance method ([2004Jo07](#)), unless otherwise stated.

<sup>b</sup> From [1979De03](#), unless otherwise specified.

<sup>c</sup> From Adopted Levels.

<sup>d</sup> From [1986La08](#).

 $\gamma(^{185}\text{Au})$ 

$E_\gamma$ <sup>†</sup>	$I_\gamma$ <sup>@</sup>	$E_i$ (level)	$J_i^\pi$	$E_f$	$J_f^\pi$	Mult. <sup>#</sup>	$\delta$ <sup>&amp;</sup>	Comments
8.9		8.9	(9/2 <sup>-</sup> )	0.0	5/2 <sup>-</sup>			
98.5 <sup>‡b</sup> 3		107.4	(7/2) <sup>-</sup>	8.9	(9/2 <sup>-</sup> )			
181.0 5	~10	1040.8	(17/2 <sup>+</sup> )	860.1	(13/2 <sup>+</sup> )			$E_\gamma$ : from $^{185}\text{Hg}$ $\varepsilon$ decay.
194.0 5		301.4	(11/2) <sup>-</sup>	107.4	(7/2) <sup>-</sup>			$E_\gamma=100.0$ 5 ( <a href="#">1979De03</a> ).
196.4 <sup>b</sup>		1705.8	(25/2 <sup>+</sup> )	1509.4	(23/2 <sup>-</sup> )			
205.7 <sup>‡</sup> 3		3037.3		2831.6				
211.5 3	24	220.3	(11/2 <sup>-</sup> )	8.9	(9/2 <sup>-</sup> )	M1		Mult.: from ce data of <a href="#">1982Bo27</a> .
212.4 <sup>‡</sup> 3		1761.2		1548.8				
212.9 3	100	221.7	(13/2 <sup>-</sup> )	8.9	(9/2 <sup>-</sup> )	E2		
243.6 <sup>‡</sup> 3		860.1	(13/2 <sup>+</sup> )	616.8	(15/2) <sup>-</sup>			
259.2 <sup>‡</sup> 3		2561.7		2302.5				
263.9 <sup>‡</sup> 3		2025.2	(23/2 <sup>-</sup> )	1761.2				
264.6 <sup>‡</sup> 3		1040.8	(17/2 <sup>+</sup> )	776.1	(15/2 <sup>-</sup> )	D		Mult.: from $\gamma(\theta)$ ( <a href="#">1986La08</a> ). Level scheme requires E1.
269.9 <sup>‡</sup> 3		2831.6		2561.7				
277.3 <sup>‡</sup> 3		2302.5		2025.2	(23/2 <sup>-</sup> )			
287.3 3	35	1328.1	(21/2 <sup>+</sup> )	1040.8	(17/2 <sup>+</sup> )	E2		
292.6 3	53	301.4	(11/2) <sup>-</sup>	8.9	(9/2 <sup>-</sup> )	M1+E2	1.0 +10-6	Mult.: E1+M2 is ruled out by RUL.
299.0 5		1328.1	(21/2 <sup>+</sup> )	1029.4	(19/2) <sup>-</sup>			
315.4 3	45	616.8	(15/2) <sup>-</sup>	301.4	(11/2) <sup>-</sup>	E2		
322.9 3	58	544.6	(17/2 <sup>-</sup> )	221.7	(13/2 <sup>-</sup> )	E2		
327.7 <sup>‡</sup> 3		3365.0		3037.3				
338.7 <sup>‡</sup> 3		1548.8		1210.1				
360.1 <sup>‡</sup> 3		1136.2	(19/2 <sup>-</sup> )	776.1	(15/2 <sup>-</sup> )			
364.1 <sup>‡</sup> 3		1761.2		1396.9	(19/2 <sup>-</sup> )			
377.7 3	35	1705.8	(25/2 <sup>+</sup> )	1328.1	(21/2 <sup>+</sup> )	E2		
395.2 3	26	616.8	(15/2) <sup>-</sup>	221.7	(13/2 <sup>-</sup> )	M1+E2	2.1 +36-20	
409.2 3	44	953.8	(21/2) <sup>-</sup>	544.6	(17/2 <sup>-</sup> )	E2		
412.7 3	21	1029.4	(19/2 <sup>-</sup> )	616.8	(15/2 <sup>-</sup> )	E2		
424.1 3	50	1040.8	(17/2 <sup>+</sup> )	616.8	(15/2 <sup>-</sup> )	D		Mult.: $\delta=0.07$ , from 287.3 $\gamma$ – 424.1 $\gamma$ cascade; $\delta=0.03$ , from 377.7 $\gamma$ – 424.1 $\gamma$ cascade, $\gamma\gamma(\theta)$ ( <a href="#">1979De03</a> ).
428.3 <sup>‡</sup>		1564.5	(23/2 <sup>-</sup> )	1136.2	(19/2 <sup>-</sup> )			
429.6 <sup>‡</sup> 3		1994.6	(27/2 <sup>-</sup> )	1564.5	(23/2 <sup>-</sup> )			
440.6 3	27	2146.4	(29/2 <sup>+</sup> )	1705.8	(25/2 <sup>+</sup> )	E2		
462.4 3	22	682.7	(15/2 <sup>-</sup> )	220.3	(11/2 <sup>-</sup> )	E2		Mult.: from ce data of <a href="#">1982Bo27</a> .

Continued on next page (footnotes at end of table)

(HI,xn $\gamma$ ) **1986La08,1979De03,1978Ka06 (continued)** $\gamma(^{185}\text{Au})$  (continued)

$E_\gamma^{\dagger}$	$I_\gamma^{\dagger}$	$E_i(\text{level})$	$J_i^\pi$	$E_f$	$J_f^\pi$	Mult. <sup>#</sup>	Comments
472.9 3	18	2619.3	(33/2 <sup>+</sup> )	2146.4	(29/2 <sup>+</sup> )	E2	
476 <sup>‡</sup>		2025.2	(23/2 <sup>-</sup> )	1548.8			
476 <sup>‡</sup>		3037.3		2561.7			
480.0 3	10	1509.4	(23/2 <sup>-</sup> )	1029.4	(19/2 <sup>-</sup> )	E2	
484.3 3	30	1438.1	(25/2 <sup>-</sup> )	953.8	(21/2 <sup>-</sup> )	E2	Mult.: from $\gamma(\theta)$ ( <a href="#">1986La08</a> ).
484.9 3		1029.4	(19/2 <sup>-</sup> )	544.6	(17/2 <sup>-</sup> )		
485.2 3	11	1994.6	(27/2 <sup>-</sup> )	1509.4	(23/2 <sup>-</sup> )	E2	Mult.: from $\gamma(\theta)$ ( <a href="#">1986La08</a> ).
498.0 3	12	3117.3	(37/2 <sup>+</sup> )	2619.3	(33/2 <sup>+</sup> )	E2	
509 <sup>‡</sup>		2503	(31/2 <sup>-</sup> )	1994.6	(27/2 <sup>-</sup> )		
527.8 <sup>‡</sup> 3		1210.1		682.7	(15/2 <sup>-</sup> )		
530.2 <sup>‡</sup> 3		2095.0	(27/2 <sup>-</sup> )	1564.5	(23/2 <sup>-</sup> )	E2	Mult.: from $\gamma(\theta)$ ( <a href="#">1986La08</a> ).
536.5 <sup>‡</sup> 3		2561.7		2025.2	(23/2 <sup>-</sup> )		
540.0 3	9	3657.3	(41/2 <sup>+</sup> )	3117.3	(37/2 <sup>+</sup> )	E2	
541.2 <sup>‡</sup> 3		2302.5		1761.2			
548.2 3	17	1986.3	(29/2 <sup>-</sup> )	1438.1	(25/2 <sup>-</sup> )	E2	
551.5 <sup>‡</sup> 3		1761.2		1210.1			
555.2 3		776.1	(15/2 <sup>-</sup> )	220.3	(11/2 <sup>-</sup> )		
555.5 <sup>‡</sup> 3		3059	(35/2 <sup>-</sup> )	2503	(31/2 <sup>-</sup> )		
555.6 3	14	1509.4	(23/2 <sup>-</sup> )	953.8	(21/2 <sup>-</sup> )		
556.6 3	11	1994.6	(27/2 <sup>-</sup> )	1438.1	(25/2 <sup>-</sup> )		
558.7 3	9	860.1	(13/2 <sup>+</sup> )	301.4	(11/2) <sup>-</sup>	D	
585.3 <sup>‡</sup> 3		2095.0	(27/2 <sup>-</sup> )	1509.4	(23/2 <sup>-</sup> )		
587.4 3	7	4244.7	(45/2 <sup>+</sup> )	3657.3	(41/2 <sup>+</sup> )		
592.0 <sup>a‡</sup> 3		1136.2	(19/2 <sup>-</sup> )	544.6	(17/2 <sup>-</sup> )		
592.0 <sup>a‡</sup> 3		2687.0	(31/2 <sup>-</sup> )	2095.0	(27/2 <sup>-</sup> )		
598.0 3		2584.3	(33/2 <sup>-</sup> )	1986.3	(29/2 <sup>-</sup> )	E2	
598.6 <sup>‡</sup> 3		3657	(39/2 <sup>-</sup> )	3059	(35/2 <sup>-</sup> )		
611		1564.5	(23/2 <sup>-</sup> )	953.8	(21/2 <sup>-</sup> )		
622.7 <sup>‡</sup> 3		3309.7	(35/2 <sup>-</sup> )	2687.0	(31/2 <sup>-</sup> )		
628.0 <sup>‡</sup> 3		2025.2	(23/2 <sup>-</sup> )	1396.9	(19/2 <sup>-</sup> )		
628.2 <sup>‡</sup> 3		4872.9	(49/2 <sup>+</sup> )	4244.7	(45/2 <sup>+</sup> )		
635.4 <sup>‡</sup> 3		4293	(43/2 <sup>-</sup> )	3657	(39/2 <sup>-</sup> )		
636.1 <sup>‡</sup> 3		3945.8	(39/2 <sup>-</sup> )	3309.7	(35/2 <sup>-</sup> )		
640.8 3	4	3225.1	(37/2 <sup>-</sup> )	2584.3	(33/2 <sup>-</sup> )		
672 <sup>‡</sup>		5545	(53/2 <sup>+</sup> )	4872.9	(49/2 <sup>+</sup> )		
673.0 <sup>‡</sup> 3		3898.1	(41/2 <sup>-</sup> )	3225.1	(37/2 <sup>-</sup> )		
674 <sup>‡</sup>		4967	(47/2 <sup>-</sup> )	4293	(43/2 <sup>-</sup> )		
714 <sup>‡</sup>		4612	(45/2 <sup>-</sup> )	3898.1	(41/2 <sup>-</sup> )		
714.2 3	8	1396.9	(19/2 <sup>-</sup> )	682.7	(15/2 <sup>-</sup> )		
728 <sup>a‡b</sup>		5695	(51/2 <sup>-</sup> )	4967	(47/2 <sup>-</sup> )		
728 <sup>a‡</sup>		6273	(57/2 <sup>+</sup> )	5545	(53/2 <sup>+</sup> )		
760 <sup>‡b</sup>		5372	(49/2 <sup>-</sup> )	4612	(45/2 <sup>-</sup> )		
765 <sup>‡b</sup>		7038	(61/2 <sup>+</sup> )	6273	(57/2 <sup>+</sup> )		

<sup>†</sup> From [1979De03](#), unless otherwise specified.<sup>‡</sup> From [1986La08](#).<sup>#</sup> From [1979De03](#) and [1978Ka06](#). All quadrupole transitions of [1978Ka06](#) are assumed by the evaluator to be stretched E2.

Continued on next page (footnotes at end of table)

---

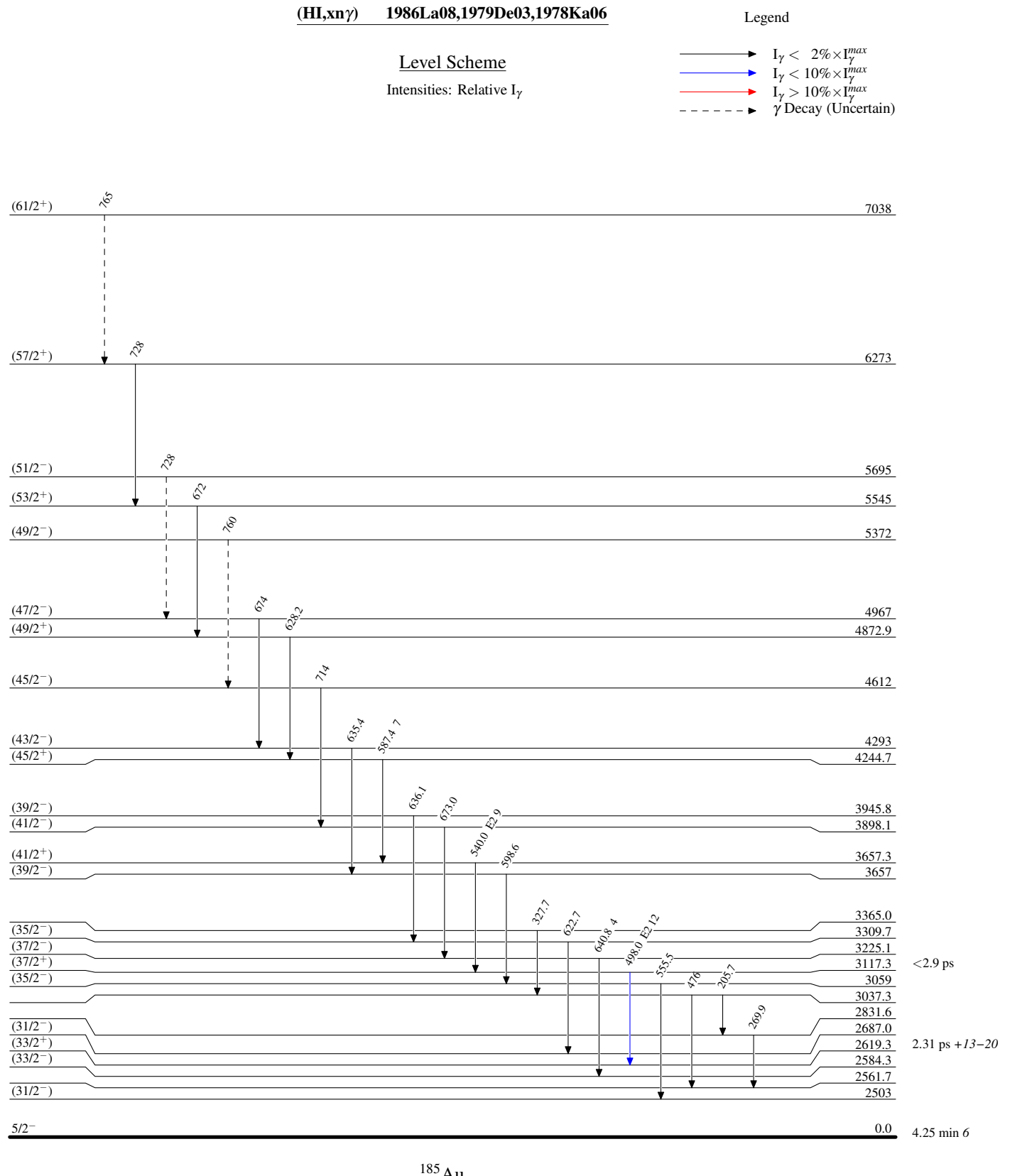
(HI,xn $\gamma$ )    1986La08,1979De03,1978Ka06 (continued) $\gamma(^{185}\text{Au})$  (continued)

<sup>a</sup> From 1979De03. Fractional uncertainties are  $\leq 10\%$ .

& From  $\gamma\gamma(\theta)$ ,  $\gamma(\theta)$  (1979De03).

<sup>a</sup> Multiply placed.

<sup>b</sup> Placement of transition in the level scheme is uncertain.



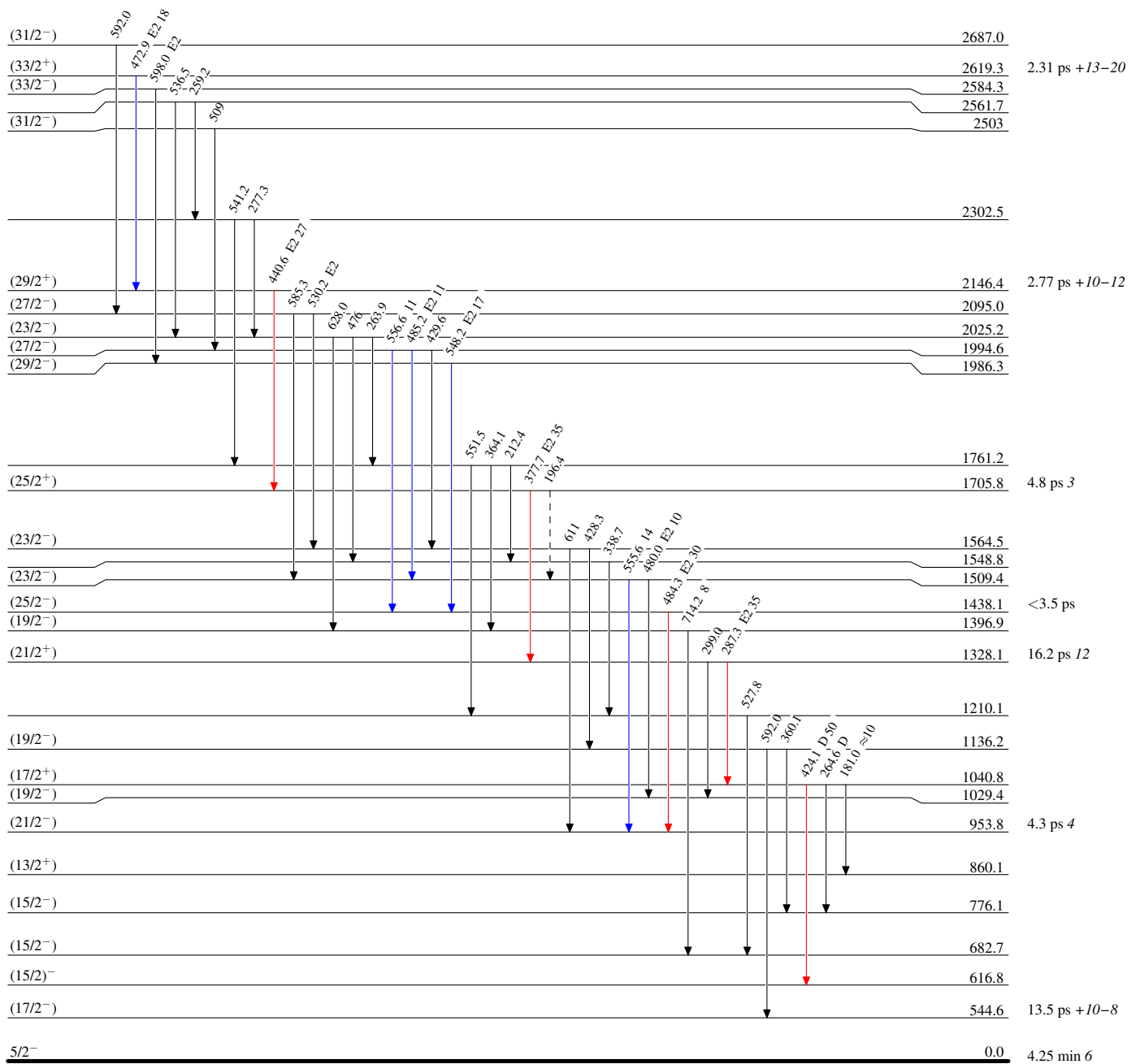
(HI,xn $\gamma$ ) 1986La08,1979De03,1978Ka06

## Level Scheme (continued)

Intensities: Relative  $I_{\gamma}$ 

## Legend

- $I_{\gamma} < 2\% \times I_{\gamma}^{\max}$
- $I_{\gamma} < 10\% \times I_{\gamma}^{\max}$
- $I_{\gamma} > 10\% \times I_{\gamma}^{\max}$
- - - - →  $\gamma$  Decay (Uncertain)

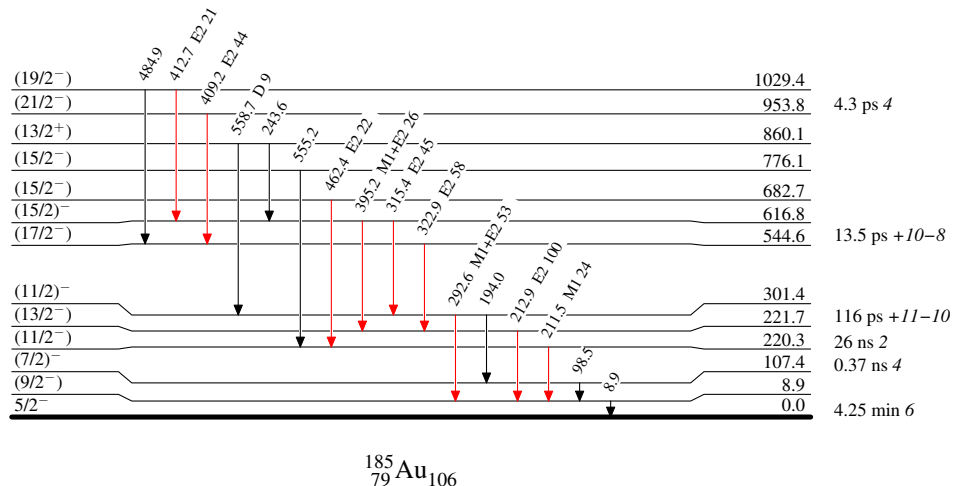


**(HI,xn $\gamma$ ) 1986La08,1979De03,1978Ka06**

## Legend

Level Scheme (continued)Intensities: Relative  $I_{\gamma}$ 

- $I_{\gamma} < 2\% \times I_{\gamma}^{\max}$
- $I_{\gamma} < 10\% \times I_{\gamma}^{\max}$
- $I_{\gamma} > 10\% \times I_{\gamma}^{\max}$
- - - - - ►  $\gamma$  Decay (Uncertain)



(HI,xn $\gamma$ ) 1986La08,1979De03,1978Ka06